

Б. М. Меликсян

## ОРБИКУЛЯРНЫЕ ГАББРОИДЫ МЕГРИНСКОГО ПЛУТОНА

Орбikuлярные габброиды являются весьма редкой структурной разновидностью основных пород. Они встречены и описаны в немно-гих районах мира: в Норвегии (Ромсасе), США (Онтарио и Калифорния), а также на острове Корсика, известные из работ Циркеля под названием "корсит".

Подобные орбikuлярные - шаровые габбро описаны в Северной Армении в пределах Лермонтовского массива (В. Н. Котляр, 1945; С. И. Баласаян, 1956; Г. П. Багдасарян и З. О. Чибухчян, 1963).

Близкие к описанным в литературе структурным разновидностям "шаровые" габбро встречены нами в Зангезуре, где габброидные породы пользуются довольно широким распространением. Большинством исследователей они относятся к наиболее ранней фазе формирования Мегринского plutона, представленной оливиновыми и безоливиновыми габбро, среди которых встречаются сегрегационные обособления дунитов, троктолитов, магнетитовых оливинитов.

Орбikuлярные габброиды Мегринского полифазного plutона встречаются вблизи ст. Мегри в виде небольшого останца ранней габброидной интрузии в кровле монцонитового интрузива.

Ранняя габброидная интрузия Мегринского plutона в виде останцев и довольно крупных массивов протягивается в субмеридиональном направлении от с. Тагамир - Личк - Вартанадзор через известный массив г. Калакар - Пальчихлу до р. Аракс, далее - в пределы Ирана и в районе с. Алдара - ст. Мегри.

Представлена она оливиновыми и безоливиновыми габбро, иногда лейкократовыми габбро-диоритами, амфиболовыми и биотитовыми габбро, а также более основными разностями - дунитами, троктолитами, пироксенитами и магнетит-оливиновыми сегрециями. В последнее время А. А. Джагаровым в указанных останцах ранней габброидной интрузии описаны метасоматические процессы (биотитизация, калишпатизация, окварцевание, фенитизация), приводящие к формированию целой гаммы крупнокристаллических метасоматических пород, переходных от габбро через габбро-сиениты к гранитоидам и сиенитам [3].

Геологическое положение шаровых габбро определяется нахождени-

ем их в виде останца в апикальной части монцонитового интрузива. Площадь выхода 0,15 км. В плане тело имеет неправильную прихотливую форму и вытянуто в субмеридиональном направлении на 150–200 м, при ширине от 20–50 м до 100 м. Породы монцонитового ряда имеют довольно резкие рвущие контакты с шаровыми габбро, в отдельных участках носящие следы метасоматоза (калишпатизация, биотитизация). Достаточно отчетливо заметно, что шаровые габбро являются останцем и на глубину не продолжаются. Вертикальная мощность выхода их около 50 м, причем верхняя часть представлена шаровыми габбро с более мелкими размерами овоидов (от 1–2 до 10 см), легко отделяющимися от основной меланократовой массы. Нижняя часть выхода представлена более крупными сфероидальными обособлениями (от 2–10 см до 30–40 см), плотно скементированными основной среднезернистой массой (рис. 1).

Морфология и строение орбикул. Морфология орбikuлярных обособлений редко имеет шарообразную форму. Чаще они имеют облик эллипсоидных, в разной степени приплюснутых или деформированных шарообразных, овоидальных выделений. В отдельных участках, где преобладают крупные овоиды, макроструктура весьма напоминает сложение пиллоу-лав. Иногда они образуют округлые сглаженные по углам, продолговатой формы выделения, реже встречаются угловатые "овоиды" с прямыми многоугольными очертаниями. Размеры орбикул заметно варьируют от 1–2 см до 30–40 см.

Наиболее распространенный тип овоидов имеет такое строение, что по периферии состоит из мелкозернистой меланократовой каймы, представленной пироксеном, оливином, аортитом и титано-магнетитом примерно в равных соотношениях. Ширина внешней мелкозернистой каймы варьирует от 1–2 до 5–6 см, редко 8–10 см, причем большие шары имеют иногда более узкую кайму, чем средние и мелкие овоиды. Хотя необходимо подчеркнуть, что определенной зависимости величины внешней каймы от размера шаров не устанавливается. Центральная часть орбikuлярных обособлений представлена средне-крупнозернистого сложения породой, состоящей из плагиоклаза, моноклинного пироксена, роговой обманки, биотита и титаномагнетита, близкой по составу к основной массе, в которой заключены овоиды. Часто овоиды имеют концентрическое многоzonальное строение с чередованием мелкозернистых меланократовых и крупнозернистых мезократовых зон. Очень редко овоиды представлены только мелкозернистого сложения меланократовой породой (фиг. 2 а, б).

#### Петрографическая характеристика

Детальное петрографическое изучение орбikuлярных габроидов показало довольно оригинальные структурно-минеральные типы габроидов, заметно отличающиеся от описанных в литературе (Г. П. Багдасарян, З. О. Чибухчян, 1963; С. И. Баласанян, 1956; В. Н. Котляр, 1945; Ф. Ю. Левинсон-Лессинг, О. А. Воробьевая, 1952).

Оливиновое габбро является довольно распространенным типом основных пород в районе развития шаровых габбро, в полосе

с.с. Абгаз - Севадан - Куджерт. Представлен темно-серыми равномерно средне-крупнозернистыми породами с габбровой, реже переходящей в офитовую структурой. Часто структура первичных габбро сохраняется в виде реликтов, вследствие наложенных метасоматических процессов (амфиболизация, биотитизация, калишпатизация). В минеральном составе габбро (табл. 1) принимает участие плагиоклаз битовнит-анортитового состава, магнезиальный оливин ( $Fo_{60-70}$  и авгит). Реже встречаются реакционные по авгиту роговая обманка и биотит. Примечательно высокое содержание магнетита (5-10%), образующего совместно с оливином сегрегационные обособления магнетитовых оливинитов и авгититов при равных количественных соотношениях рудного минерала и темноцветных.

Оливин часто замещается иддингситом и серпентином.

Полосатое габбро приурочено к нижней части выхода шаровых габбро и представлено неравномернополосатой разновидностью, состоящей из чередующихся полос салических и фемических минералов (0,6-1,2 см).

Светлые широкие полосы представлены анортозитом с офитовой структурой и значительно выраженными явлениями деанортитизации с появлением поздних генераций плагиоклаза андезинового состава (40-50% An).

Часто анортит изменен в карбонат-соссюритовый агрегат. Содержание темноцветных минералов незначительное (3-5%). Темные узкие полосы состоят из идиоморфного плагиоклаза ( $N = 82$ ), авгита и роговой обманки (35-40%) (табл. 1).

При хлоритизации выделяется значительное количество вторично-го магнетита.

Микрогаббро в виде жилообразных (до 3-5 см) тел встречается в массиве шаровых габбро. Характеризуется призматически-зернистой, порфировидной, местами типичной офитовой структурой. В минеральном составе значительную роль играет плагиоклаз - 1 генерации ( $N = 90-80-64$ ) и более поздний плагиоклаз - 11 ( $N = 76-62$ ) примерно в равных соотношениях (по 30%). Присутствуют оливин (3,0%), авгит (5%) и амфибол (более 30%) в обычных реакционных соотношениях. Как и во всех типах габбро много магнетита (8,0%).

Шаровое габбро. Петрографическое изучение шаровых габбро показывает различие в структурно-парагенетических ассоциациях основной массы и шаровых обособлений (рис. 2, а, б).

Основная масса шаровых габбро имеет преимущественно средне-мелкозернистое сложение. Структура основной массы резко неоднородная. Выделяются три структурно-парагенетические группы. Первая - меланократовая структурно-парагенетическая группа (1,0-1,5 мм) характеризуется аллотриоморфнозернистой структурой и представлена ассоциацией: битовнит ( $N=82$ ) + оливин + авгит + магнетит, в которой значительная часть пироксена замещена уралитовой роговой обманкой и биотитом. Вторая мезократовая структурно-парагенетическая группа (1,6-2,5 мм) имеет офитовую структуру и состоит из плагиоклаза ( $N = 88$ ) + гиперстена + авгита + магнетита. И здесь развиваются уралитовая роговая обманка, биотит. Третья лейкократовая структурно-парагенетическая группа (2-3,5 мм) представлена

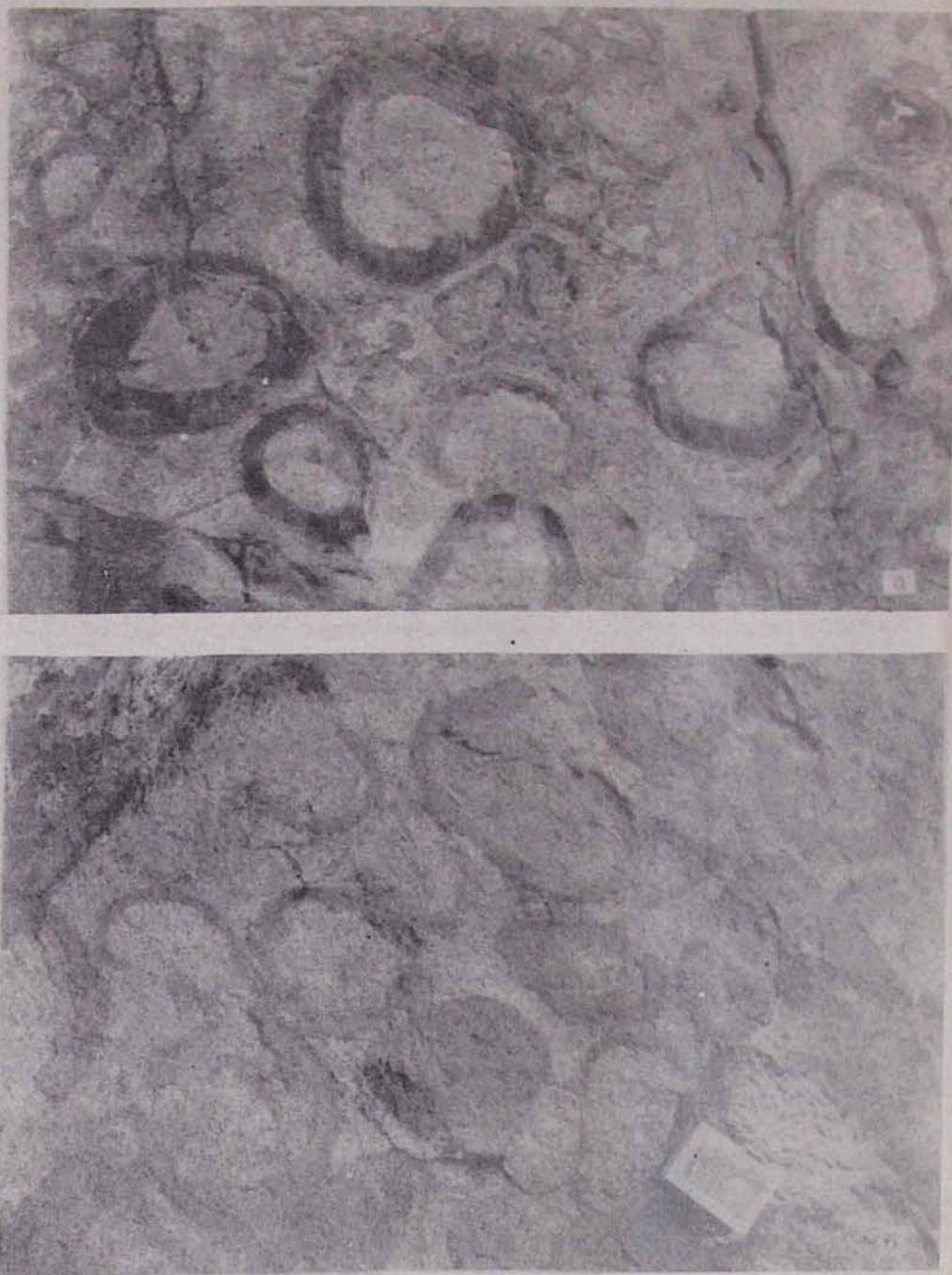


Рис. 1. Выходы шаровых габбро Мегринского plutона;  
а) концентрически-зональное строение крупных шаровых обособлений, с отчетливой оливин-магнетитовой периферической зоной;  
б) плотно прилегающие друг к другу шаровые обособления. Промежутки между крупными шарами выполнены мелкими шарами.

Таблица 2

Количественно-минеральный состав структурных разновидностей габбро

Структурные разновидности габбровых пород	Размер зерен в мм	Плагиоклаз		Альбит	Гипертен	Амфибол	Биотит	Магнезит	Выявленные минералы	
		%	№						калишпат и пр.	
1 Исходное равномерно-средне-зернистое габбро	1,5-2 1,6-2,5	83 78	59,2 83,8	18,7 1,0	10,4 -	- -	1,4 3,4	3,8 -	5,5 3,0	-
2 Габбро полосатое а) саличес-кая, б) фемитическая	1,6-2,5 0,6-1,2	82 80	55,4 58,5	5,6 5,1	1,5 2,9	- -	20,4 31,5	2,1 -	2,3 5,4	-
3 Жильное микрогаббро	0,6-1,2	80	58,5	5,1	2,9	-	-	-	-	-
4 Основная масса шаровых габбро	1,0-1,6 1,8-2,2 1,8-3,4	82 88 52	22,5 46,5 36,7	27,5 2,5 2,4	4,8 - -	- 13,0 -	22,2 31,0	6,6 5,0 6,5	14,4 18,0 2,3	- 0,5 12,2
5 Шаровые обособления	0,4-1,2 0,6-2,4 2,0-3,8	88 89 85	36,8 50,6 53,6	16,3 9,8 12,60	12,3 6,6 -	- -	- 5,6	6,1 9,7 12,9	26,5 8,0 3,6	- - -

х Оптические константы и количественно-минеральные подсчеты выполнены Ж. С. Вартазарян.

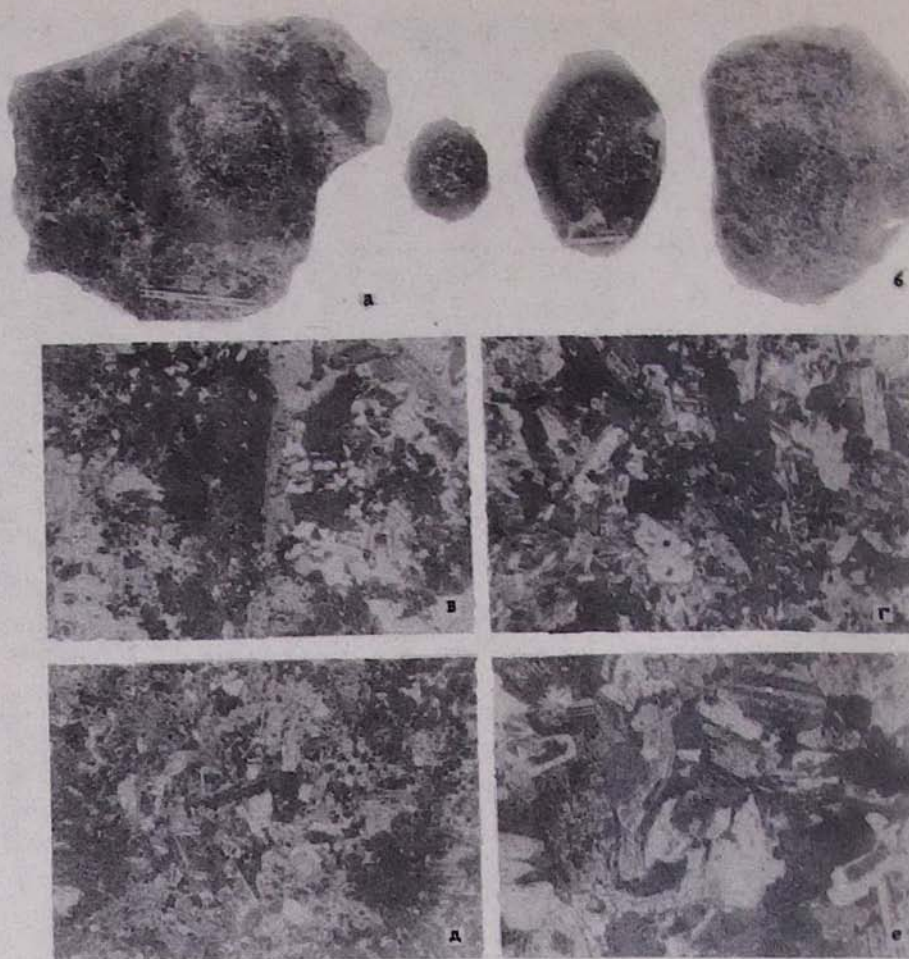


Рис. 2. Строение шаровых обособлений.

- а) Плотно-спаянное шаровое обособление с мелкозернистой периферической зоной в меланогаббро;
- б) размеры зональных шаровых обособлений;
- в) структура крупнозернистой центральной зоны шара;
- г) промежуточная среднезернистая зона шара с наложенной мелкозернистой структурной группой;
- д) офитовая структура мелкозернистой структурно-минеральной периферической зоны;
- е) габбровая, переходящая в офитовую структуру основной связывающей массы габбролита.

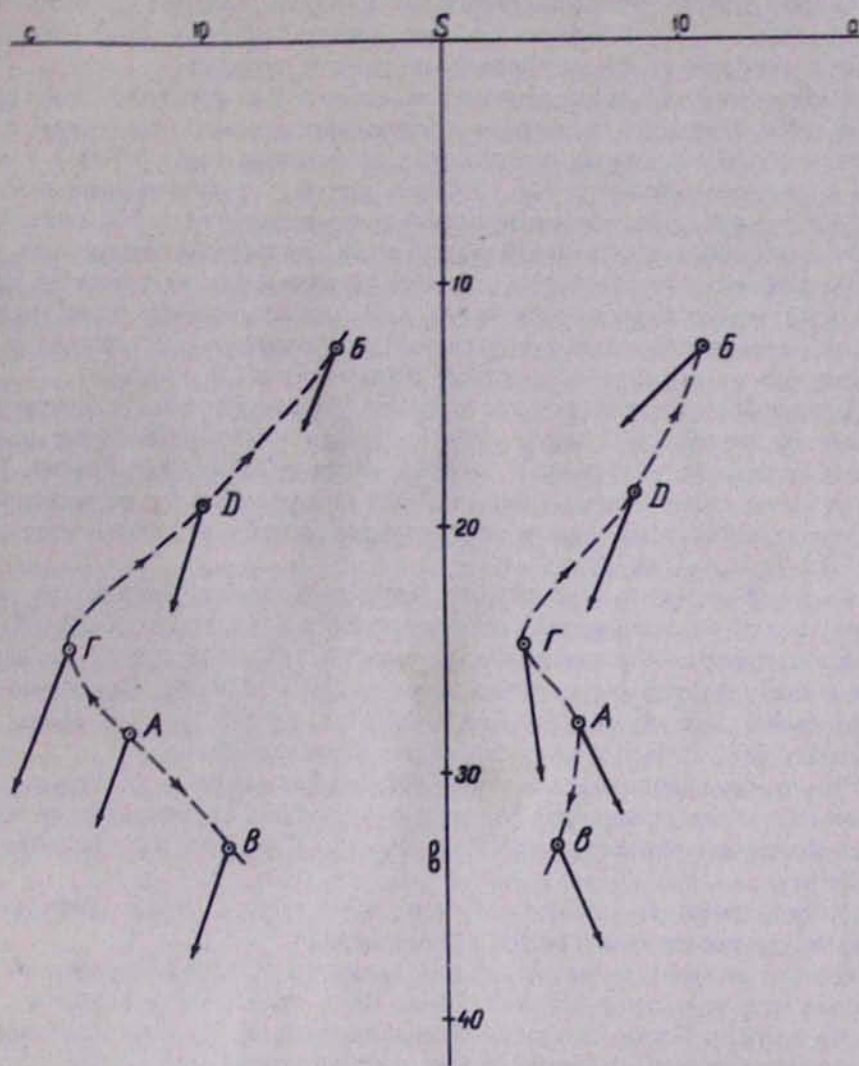


Рис. 3. Петрохимическая диаграмма А. Н. Заварицкого. А - средний состав габбро; Б - лейко-мезократовая часть основной массы; В - меланократовая среднезернистая часть основной массы; Г - периферическая зона шаровых обособлений; Д - центральная зона шаровых обособлений.



плагиоклазом ( $N = 52$ ) + амфиболом + биотитом + кварцем. Структура аллотриоморфозернистая, пойкилитовая, является результатом позднего метасоматического наложенного процесса (альбитизация, калишпатизация). Обращает на себя внимание высокий цветной индекс описанных структурных групп, соответственно 75, 55, 40% и наличие неравновесных ассоциаций (оливина с кварцем, оливина с гиперстеном).

Шаровые обособления составляют главную массу шаровых габбро и довольно плотно прилегают друг к другу.

Периферическая зона шаровых обособлений имеет аллотриоморфо-зернистую структуру и слагает мелкозернистую меланократовую структурно-парагенетическую ассоциацию: плагиоклаз ( $N = 88-92$ ) + оливин + авгит + магнетит (до 25–30%). Вторая структурно-парагенетическая группа является реакционной и представляет собой ойтотового сложения габбро центральной части шара, разъединенную оливин + магнетитовой мелкозернистой массой. В промежутках заметны реликты первичной ойтовой структуры. Для промежуточной зоны характерна ассоциация гиперстена + авгита + магнетита редко оливина и замещающей их уралитовой роговой обманки (рис. 2 е, д).

Внутренняя центральная часть шаров имеет ойтовую структуру с размером зерен 2,5–4 мм и слагает третью структурно-парагенетическую ассоциацию: плагиоклаз ( $N=85$ ) авгит + амфибол + биотит, редко реликты гиперстена. Лейкократовая центральная и меланократовая периферическая зоны имеют в отдельных шарах различное соотношение от 10:1 до 1:1 (рис. 2 е).

Цветной индекс отдельных структурно-парагенетических зон варьирует (с учетом магнетита) соответственно в пределах 65,50,40%.

Концентрация ксеноморфных выделений титаномагнетита от периферии шара к центру резко понижается от 30% до 3–5%. По сравнению с основной массой, содержащей 1–2,5% апатита и до 2,0% сфена, в шаровых обособлениях их содержание незначительное.

В минералогическом составе габброидных пород и их структурных разновидностях принимают участие плагиоклаз, оливин, моноклинный и ромбический пироксен, амфибол, биотит, магнетит и вторичные минералы.

Количественные соотношения их в различных типах приведены в табл. 1, характеристика их дается ниже.

Плагиоклаз является главным составляющим шаровых габбро. Состав его варьирует от  $N = 78$  до 92 и относится к аортиту, реже битовиту. Слабо зонален. В редких случаях в альбитизированных участках основной массы шаровых габбро состав его достигает основного андезина.

Кроме явлений деанортитизации, плагиоклаз габбро часто обнаруживает замещение карбонатом, серицитом и эпидотом.

В различных структурных разностях выделяются по крайней мере две генерации, представленные преимущественно идиоморфными лейстами.

Оливин встречается в ассоциации с магнетитом в виде ксеноморфных мелких (0,5–0,6 мм) зерен, редко кристаллов до 1,6 мм в мелкозернистой структурно-парагенетической группе основной массы и

периферических частей шаровых обособлений. Оптические константы:  $2V = +89-92$ ,  $N_g - N_p = 0,038$  позволяют отнести к магнезиальной разновидности с 60-75% форстита. Обычно по трещинкам или в виде полных псевдоморфоз развивается индигит зеленовато-коричневого цвета и серпентин, а также отмечаются включения рудного минерала.

Ортопироксен встречается в небольшом (5-15%) количестве в крупнозернистой структурно-парагенетической группе основной массы и в ядрах и шаровых обособлений. Измеренные оптические константы:  $2V = -84$ ,  $N_g - N_p = 0,009-0,011$  с плеохроизмом в розоватых тонах позволяют отнести минерал к гиперстену с 60-70% энстатита. Часто ромбический пироксен замещается авгитом.

Клинопироксан является постоянной фемической составляющей во всех структурно-парагенетических группах габброидов, особенно в составе ранней мелкозернистой меланократовой группы в ассоциации с аортитом и оливином. Моноклинный пироксен образует неправильной формы выделения в промежутках идиоморфных кристаллов аортита. Части пойкилитовые включения магнетита, апатита и позднего плагиоклаза - II ( $N = 70-50$ ). Судя по оптическим константам:  $+2V = 41-58$ ,  $c:N_g = 42-48$ ,  $N_g - N_p = 0,226-0,31$ , минерал близко стоит к авгиту и диопсид-авгиту. Моноклинный пироксен почти всегда замещается уралитовой роговой обманкой и сохраняется в полях последнего в виде реликтов неправильной формы.

Амфибол наиболее распространенная разновидность из группы фемических минералов. Содержание амфиболя варьирует от 5-10% в среднезернистой и промежуточной зоне шаровых габбро до 20-30% в крупнозернистой структурной группе и в центральных частях шаров. Оптическими константами удается выделить две разновидности амфиболя: а) обыкновенную роговую обманку, образующую идиоморфные кристаллы в крупнозернистых структурных группах основной массы и шаров ( $-2V = 70-76$ ,  $c:N_g = 18-26$ ,  $N_g - N_p = 0,020-0,025$  с плеохроизмом в зеленовато-желтых тонах), б) уралитовую роговую обманку актинолитового ряда, плеохроирующую в сине-зеленоватых тонах. Образует неправильной формы выделения с реликтами замещенного авгита. Сине-зеленая роговая обманка характерна для средне-мелкозернистых структурно-минеральных групп основной массы и шаровых обособлений. Оптические константы актинолитовой волокнистой роговой обманки следующие ( $-2V = 62$ ,  $c:N_g = 10$ ,  $N_g - N_p = 0,016$ ).

Биотит встречается преимущественно в среднекрупнозернистых структурно-минеральных группах основной массы и в ядрах овощей шаровых габбро, где его содержание достигает 6-12%, редко более. Развивается биотит по авгиту и роговой обманке, редко вокруг выделений магнетита, включенного в плагиоклаз.

Характерно присутствие двух основных разновидностей биотита: зеленовато-бурого железистого ( $N_m = 1,72-1,75$ ), развивающегося вокруг выделений магнетита и роговой обманки; и бледно-желтого, более магнезионального ( $N_m = 1,62-1,70$ ), замещающего пироксены.

Магнетит является наиболее распространенным аксессорным минералом (3-6%) в крупнозернистой структурно-минеральной группе основной массы и шаров, а в средне-мелкозернистой структурной

группе становится одним из главных породообразующих минералов (10–20%), особенно в периферических зонах шаров (25–30%). Магнетит образует мелкие (0,6–1,2 мм) и довольно крупные (2–3 мм) неправильной формы выделения. Часто ассоциирует с темноцветными минералами, а в периферических зонах шаров дает равномерную мелкую магнетитовую сыпь. Содержание титана в магнетитах невысокое – 0,8%.

Вторичные минералы в рассматриваемой группе пород представлены карбонатом, серицитом, эпидотцоизитом, хлоритом, а также вторичным кварцем, альбитом и калишпатом. Содержание вторичных минералов возрастает в крупно–среднезернистой структурно–минеральной группе (2–6%). Поздний калишпат замещает альбитизированный пла-гиоклаз только в крупнокристаллической основной массе шаровых габбро под воздействием более молодой монцонитовой фазы плутона.

Содержание калишпата 5–8%, а кварца 10–12%.

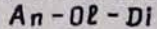
#### Особенности химического состава шаровых габбро

Имеющиеся в нашем распоряжении химические анализы различных структурно–минеральных разновидностей габбровых пород и рассчитанные петрохимические параметры по А. Н. Заварицкому приведены в табл. 2 и нанесены на вариационную диаграмму. (Рис. 3).

Средний состав шарового габбро весьма близок к составу одивинового габбро по Дэли. Состав основной массы и шаровых обособлений также близко стоят к среднему составу габбро. Однако химические составы отдельных структурно–минеральных групп весьма неоднородны и не имеют близких по химическому составу аналогов: мелкозернистые аортит–оливин–авгит–магнетитовые зоны отклоняются к меланогаббро и аортитовым ультрамафитам троктолитового типа. Химические составы среднезернистых мезократовых структурных групп приближаются к составу габбро–норитов, а крупнозернистых структурных лейкократовых зон – к диоритам и лейкогаббро.

Из рассмотрения петрохимических особенностей шаровых габбро вытекают следующие закономерности, проливающие свет на петрогенез шаровых габбро.

1. В целом повышенная известковистость пород, что выражается в высоком значении параметров  $C^+$  и  $C^-$ , высокой основности пла-гиоклаза ( $N = 80–92$ ) и его избыtkе против эвтектики в системе:



2. Резкое понижение щелочно–известкового индекса ( $a/c = 0,2–0,4$ ) и щелочно–фемического индекса ( $a/b = 0,15$ ) в мелкозернистых меланократовых структурно–минеральных ассоциациях периферических зон шаров и основной массы по сравнению с крупно–среднезернистыми зонами шаров. ( $a/c = 0,8–2$ ,  $a/b = 0,45–0,85$ ), указывающее на различное поведение щелочей в процессах дифференциации субстративного типа, при постоянном соотношении  $Na$  и  $K$  ( $\pi = 71–75$ ).

3. В ходе кристаллизационной дифференциации с возрастанием фемического параметра "v" заметно понижается отношение  $FeO : MgO$  от 0,68–0,70 до 0,5–0,30 с одновременным скачкообразным возрастанием  $Fe_2O_3 : FeO$  от 0,1–0,2 до 0,35–0,40, что безусловно указывает

Таблица 2

Химический состав шаровых габбро

№	Структурные разновидности шаровых габбро	Химический состав шаровых габбро										Сумма		
		SiO <sub>2</sub>	TiO <sub>2</sub>	Al <sub>2</sub> O <sub>3</sub>	Fe <sub>2</sub> O <sub>3</sub>	FeO	MnO	MgO	CaO	Na <sub>2</sub> O	K <sub>2</sub> O	-H <sub>2</sub> O	R <sub>2</sub> O <sub>3</sub>	Al <sub>2</sub> O <sub>3</sub>
A	Оливиновое габбро равномерно-среднезернистое	43,15	0,72	21,46	3,86	7,72	0,13	6,35	13,70	1,36	0,84	0,85	0,04	100,23
I	Основная масса шарового габбро													
B	Лейкократовая крупнозернистая	61,78	0,36	18,31	0,64	3,12	0,11	2,86	3,80	3,50	2,20	0,31	0,13	2,17
V	Меланократовая среднезернистая	44,67	1,08	16,46	5,73	7,95	0,26	8,07	12,18	1,50	0,75	0,34	0,00	1,37
II	Шаровые обособления													
G	Периферическая меланократовая	42,34	0,42	24,65	3,69	4,25	0,11	7,59	13,58	1,10	0,50	0,43	-	1,07
D	Центральная лейкократовая	51,46	1,08	20,29	2,92	5,68	0,20	4,41	10,43	2,80	1,10	0,09	0,13	0,14
														100,73

Числовые характеристики по А. Н. Земанчикову

№	Числовые характеристики по А. Н. Земанчикову										$FeO/MgO$	$FeO/MnO$	$FeO/K_2O$	
	$a$	$c$	$b$	$s$	$a'$	$c'$	$x'$	$m'$	$t$	$y$				
A	4,7	13,3	28,3	53,7	-	17,2	41,2	41,6	1,20	12,6	71,7	-15,3	0,36	0,68
B	10,0	4,7	12,9	71,5	34,2	-	27,9	37,9	0,5	27,8	71,0	+16,5	2,3	0,22
V	4,5	9,1	33,1	53,4	-	18,5	38,5	42,2	3,0	15,2	75,0	-11,4	0,5	0,81
G	3,6	16,9	24,6	54,9	-	7,2	33,4	59,4	0,7	14,4	78,3	-14,3	0,2	0,15
D	8,2	10,1	19,3	62,4	15,9	-	43,7	40,4	1,6	13,3	79,0	-1,7	0,8	0,45
														0,70

Химические анализы выполнены в химической лаборатории ИГН АН Армянской ССР аспирантом С. Г. Чагчян.

на повышение парциального давления кислорода.

Дискретный характер изменения рассматриваемых петрохимических параметров должен указывать на резкие изменения условий кристаллизации, приводящие в конечном счете к процессам дифференциации субтрактивного типа (высокая глиноzemистость, пониженная щелочность, повышенное парциальное давление кислорода) с возникновением двух структурно-парагенетических ассоциаций: аортит - оливин - магнетит и аортит - авгит - амфибол. Вариации кремнекислотности в крупно-средне-кристаллической структурно-минеральной группе приводят к появлению гиперстена вместо авгита или в парагенезисе с ним.

На петрохимической диаграмме показаны фигуративные точки различных структурных типов шаровых габбро. Ход кристаллизации и дифференциации исходного состава оливинового габбро (А) приводит к появлению двух комплементарных составов, соответствующих мелкозернистой меланократовой и крупнозернистой лейкократовой структурным зонам в шаровых обособлениях (Д и Г) и основной массе (Б и В). Вариационная линия показывает ход процесса разделения исходного состава на комплементарные составы при формировании шаровых габбро (рис. 3).

Небезынтересно, что возникновение меланократового остатка, взаимодействующего с ранее выделившимися твердыми кристаллическими фазами протекает, с одной стороны, с понижением щелочности, с другой, - с повышением известковистости.

#### Соображения о возможном механизме формирования орбikuлярных габбро Мегринского plutона

Обзор литературы по орбikuлярным или сфероидальным габбро показал, что в большинстве случаев в центральных частях шаров и в основной массе присутствуют плагиоклаз и амфибол (иногда пироксен) нормальной структуры, которые к периферии окружаются габброй и сменяются последовательно плагиоклазом и амфиболовым. Иногда овощи существенно плагиоклазовые или амфиболовые, либо многократно-члененные (С. И. Баласанян, 1956, В. Н. Котляр, 1945; Ф. Ю. Левинсон-Лессинг, О. А. Воробьева, 1952; Ф. Хетч и др., 1975). Шаровые габбро Мегринского plutона по типу шаров и их зональности не имеют аналогов в литературе.

Периферические зоны шаров представлены мелкозернистым меланократовым агрегатом оливина - аортита - магнетита с реликтами первичной офитовой структуры, внутренние зоны характеризуются аортит-пироксеновой ассоциацией с резко выраженной офитовой структурой. Между указанными структурно-минеральными группами наблюдаются отчетливые реакционные взаимоотношения с замещением аортит - пироксен - амфиболовой ассоциации оливин-магнетитовой и сохранением реликтов аортит-пироксеновой.

При объяснении генезиса орбikuлярных габбро Мегринского plutона мы исходили из следующих твердо установленных фактов:

1. В пределах габброидной фазы plutона выявляются довольно крупные сегрегационного типа обособления магнетитовых оливинитов

и магнетитовых диллабигитов, явившихся результатом фракционной кристаллизации.

2. Характерные для шаровых габбро повышенные основность и содержание плагиоклаза (анортита) и высокое содержание магнетита свидетельствуют об избытке глинозема и высоком парциальном давлении кислорода в исходной магме.

3. Сходство химического и минерального состава зон в шаровых обособлениях и структурно-минеральных группах основной, связывающей шары, массы.

Для понимания многих явлений во взаимоотношениях минералов и их структурно-парагенетических ассоциаций в шаровых габбро большое значение имеют исследования физико-химических систем соответствующего состава. Это тем более необходимо, что имеющиеся гипотезы не объясняют удовлетворительно образование шаровых структур при близости состава орбикул и основной массы. Так, Ф. Ю. Левинсон-Лессингом их образование (1952) объясняется явлением автобрекчирования при неоднократном внедрении магмы; С. И. Баласанином (1956) — уменьшением объема магмы при кристаллизации и фракционной кристаллизацией в сферидах; В. Н. Котляром (1945) — процессами конкремионной кристаллизации и др. Кроме того, некоторые авторы допускают процессы ликвации для объяснения образования полосатых и шаровых габбро (Е. А. Кузнецов, 1956; Ф. Хетч и др. 1975).

Из рассмотрения диаграмм фазового равновесия в системе диопсид-форстерит-анортит, изученной Е. Ф. Осборном и Д. Б. Тайтом (1956, 1961), и системы  $MgO - FeO + Fe_2O_3 - CaAlSi_2O_8 - SiO_2$

, рассмотренной Е. Осборном и Е. Родером (1970), вытекают некоторые соображения, объясняющие генезис шаровых габбро. Во-первых, нахождение фигуративной точки среднего состава габбро в поле анортита (65–75%) указывает на присутствие анортита в избытке против эвтектики, что должно приводить к ранней кристаллизации анортита, к которой в дальнейшем в точке эвтектики присоединяется моноклинный пироксен с образованием наблюдающейся офитовой структуры. Во-вторых, состав остаточной жидкости должен обогащаться  $MgO$  и  $FeO$ , а выделившиеся твердые фазы анортита и диопсида, благодаря высокой кристаллизационной способности, будут фракционироваться. При повышении парциального давления кислорода с возрастанием отношения  $Fe_2O_3 : FeO$  первым кристаллизуется оливин, к которому присоединяется магнетит. Одновременно при соотношении 30%

$Oe$  и 10%  $Mt$  происходит реакционное взаимодействие сформировавшихся к тому времени анортит-пироксеновых обособлений с оливин-магнетитовой остаточной жидкостью.

Рассмотренные выше петрологические особенности формирования шаровых габбро свидетельствуют о неравновесных условиях их кристаллизации при значительных градиентах температур и давлений. Об этом свидетельствует наличие неравновесных парагенезисов и структурных групп.

Процессами, приводящими к нарушению нормального хода кристаллизации в первую очередь следует считать процессы ассимиляции

богатых глиноземом (глинистых осадочных) пород, приводящие к избытку аортита против эвтектики, а также первичную обогащенность магмы известью ("кальци-габбро").

Часто можно наблюдать включения типа ксенолитов. Быстрое охлаждение с падением температуры в неоднородном расплаве могло явиться причиной образования гетерогенных шаровых обособлений. Одновременно падение давления, которое сопровождалось возрастанием окислительного потенциала, приводило к диффузионному массообмену аортит-пироксеновых обособлений и остаточной жидкости с выделением магнезиального оливина и магнетита и формированием периферической зоны овоидов, а также цементирующей основной массы.

Таким образом в формировании шаровых габбро решающую роль играли процессы нарушения равновесного хода кристаллизации (гетерогенность расплава, резкое падение температуры и давления, высокое парциальное давление кислорода).

#### ЛИТЕРАТУРА

1. Багдасарян Г. П., Чибухчян З. О. К петрографии и условиям образования Лермонтовского габбрового интрузива. Зап. Арм. отд. ВМО, № 2, 1963.
2. Баласанян С. И. Шаровые габбро Геджалинского хребта в Армении. "Изв. АН Арм. ССР", сер. физ.-мат., естеств. и тех. наук, т. 9, № 4, 1956.
3. Джагаров А. А. Особенности процессов магматизма и метасоматизма при формировании Мегринского plutона. "Изв. АН Арм. ССР", сер. Науки о Земле, № 4, 1973.
4. Заварицкий А. Н. Введение в петрохимию изверженных пород. Изд. АН СССР, 1950.
5. Кузнецов Е. А. Петрография магматических и метаморфических пород. Изд. МГУ, 1956.
6. Котляр В. Н. О шаровых габбро у с. Воскресеновка. АРМ. ССР. "Изв. АН СССР", т. 49, № 9, 1945.
7. Левинсон-Лессинг Ф. Ю., Воробьева О. А. Заметка о шаровых структурах в изверженных породах. Избран. труды, т. Ш., изд. АН СССР, 1952.
8. Тернер Ф., Ферхуген Дж. Петрология изверженных и метаморфических пород. Изд. ИЛ, 1961.
9. Хетч Ф., Уэллс А., Уэллс М. Петрология магматических пород. Изд. ИЛ, 1975.
10. Шинкарев Н. Ф. Физико-химическая петрология изверженных пород. Изд. "Недра", 1970.